

RADIATION DAMPING:

Smorzimento delle oscillazioni
per emissione di radiazione
di sintonia.

DAMPING LONGITUDINALE:

Consideriamo l'eq. del moto per oscillazioni di lunghezza in appross.
di piccole ampiezze: $\ddot{\phi} + \Omega_s^2 \phi = 0$, $\ddot{E} + \Omega_s^2 E = 0$

dove $\Omega_s (\delta \gg 1) \approx \frac{h_0 \omega_c w_s e V_0 \cos \phi_s}{2\pi R_s p_s}$ e il quoziente di energie

nelle cavità RF è dato da $\Delta E = e V_0 \sin \phi_s$.

Risolvendo $V_0 \cos \phi_s = \frac{dV}{d\phi} = \frac{dV(t)}{dt} \frac{dt}{d\phi(t)} \equiv \frac{V_0}{\omega_{RF}}$, quindi ottieniamo

$$\Omega_s \approx \frac{\omega_{RF}}{\omega_s} \eta_c \omega_s \frac{e V_0}{\omega_{RF} 2\pi R_s p_s} \frac{1}{B_0} \approx e V_0 \eta_c \frac{c}{2\pi R_s} \frac{1}{E_0} \approx \frac{e V_0 \eta_c}{T_0 E_0}.$$

Introduciamo il termine di smorzamento dovuto all'emissione di SR
nell'unità di tempo, MEDIANA su un giro:

$$\frac{1}{T_0} \frac{dU(E)}{dt} = \frac{1}{T_0} \frac{dU(E)}{dE} \frac{dE}{dt} \quad \text{e lo inseriamo nell'eq. del moto di cui sopra:}$$

$$\left[\frac{d^2 E}{dt^2} + \left(\frac{1}{T_0} \frac{dU(E)}{dE} \right) \frac{dE}{dt} + \left(\frac{\eta_c e V_0}{T_0 E_0} \right) E = 0 \right]$$

Esplicitiamo il COEFF. DI SMORZ. CONSTIT.:

$$\eta_E := \frac{1}{2T_0} \frac{dU(E)}{dE} = \frac{1}{2T_0} \frac{d(AE^4)}{dE} = \frac{4}{2T_0 E_0} (AE^4) = \left(\frac{2V_0}{T_0 E_0} \right)$$

SR totale emessa
in 1 giro

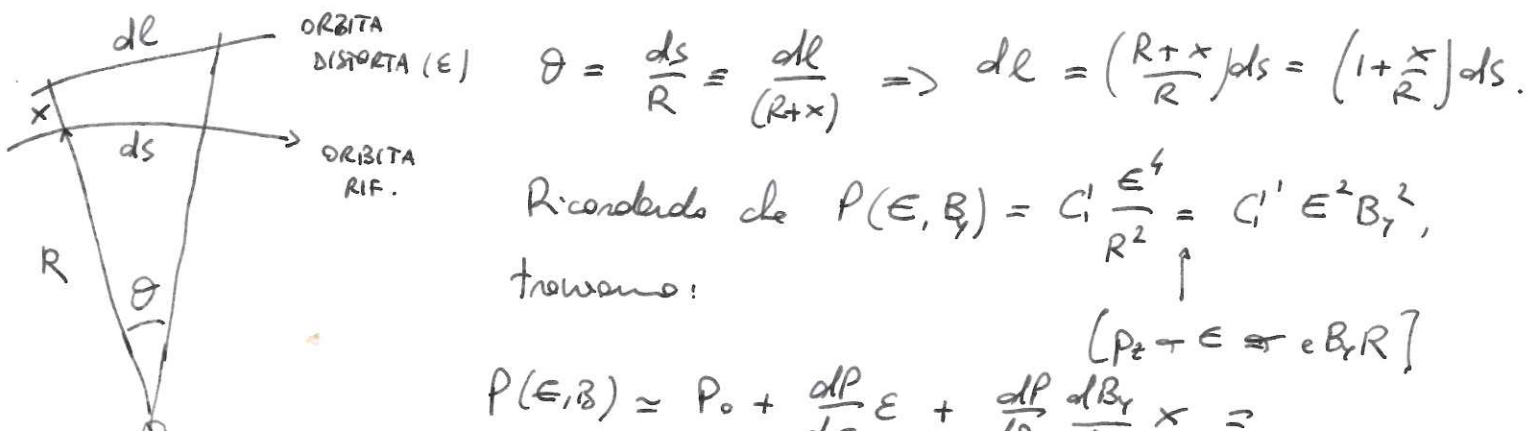
$$\Rightarrow \text{soluzioni: } \begin{cases} E(t) = C_1 e^{-\eta_E t} \cos(\Omega_s t + \phi_0) & \text{periodo di riduzione} \\ Z(t) = -C_1 \left(\frac{\eta_c}{\Omega_s E_0} \right) e^{-\eta_E t} \sin(\Omega_s t + \phi_0) & \text{energia di riferimento} \end{cases}$$

$$T_E := \frac{1}{\eta_E} = \underline{\text{DAMPING TIME}}$$

S'assunse di SR in regime del moto trasverso DISPERSIVE ($D_x, D_x' \neq 0$) determinare i spostamenti istantanei delle partecelle su orbite diverse (perturbate) in base alla relazione $x = D_x \frac{\epsilon}{E_0}$, $\epsilon = \Delta E$ indotta dalla costante d'SR.

Il coeff. θ_ϵ dovrà dunque essere "corretto" tenendo conto del fatto che anche diverse (ϵ) seguono curvature diverse, quindi esibiscono una diversa P_{SR} . Calcoliamo $U(\epsilon)$ per una generica ϵ , quindi una generica orbita:

$$U(\epsilon) \cong \frac{1}{c} \oint P dl = \dots$$



$$\text{Ricordando che } P(\epsilon, B_r) = C_1 \frac{\epsilon^4}{R^2} = C_1' \epsilon^2 B_r^2, \text{ troviamo:}$$

$$\begin{aligned} P(\epsilon, B) &\cong P_0 + \frac{dP}{d\epsilon} \epsilon + \frac{dP}{dB_r} \frac{dB_r}{dx} x = \\ &= P_0 + \frac{2P_0}{\epsilon_0} \epsilon + \frac{2P_0}{B_{0r}} \oint x = \\ &= P_0 + \frac{2P_0}{\epsilon_0} \epsilon - 2P_0 k R x. \end{aligned}$$

Troviamo così (da -) la contribuzione QUADRUPolare integrata nel DIPOLo (magnetico "continuo")

$$\dots = \frac{1}{c} \oint ds \left(P_0 + \frac{2P_0}{\epsilon_0} \epsilon - 2P_0 k R x \right) \left(1 + \frac{x}{R} \right) \quad \text{e sostituendo ora al termine dispersivo } x = D_x \frac{\epsilon}{\epsilon_0} :$$

$$\dots = \frac{1}{c} \oint ds \left(P_0 + \frac{2P_0}{\epsilon_0} \epsilon - \frac{2P_0}{\epsilon_0} k R D_x \epsilon \right) \left(1 + \frac{D_x}{\epsilon_0 R} \epsilon \right) \cong$$

$$\cong \text{al solo } 1^{\circ} \text{ORDINE in } \epsilon, \frac{1}{c} \oint ds \left(P_0 + \frac{2P_0}{\epsilon_0} \epsilon + \frac{P_0 D_x}{\epsilon_0 R} \epsilon - \frac{2P_0}{\epsilon_0} k R D_x \epsilon \right).$$

$$\Rightarrow \frac{dU(\epsilon)}{d\epsilon} \cong \frac{2P_0 C}{c \epsilon_0} + \frac{P_0}{c \epsilon_0} \oint ds D_x \left(\frac{1}{R} - 2kR \right) =$$

$$\cong \frac{2P_0 T_0}{\epsilon_0} + \frac{V_0}{\epsilon_0} \frac{1}{c T_0} \oint ds (\dots) = \frac{V_0}{\epsilon_0} \left[2 + \frac{1}{c} \oint ds D_x \left(\frac{1}{R} - 2kR \right) \right] = \frac{V_0}{\epsilon_0} (2 + \partial_d).$$

$$\bar{J}_x = 1 - \alpha \Rightarrow \alpha < 1$$

SIF



$$E_x \approx \frac{1}{2} \cdot \frac{1}{\alpha}$$

$$J_x = 1 - \alpha \Rightarrow \alpha < 1$$

Ottengono infine il COEFF. di STAZ. LONGITUDINALE in presenza di un
t- DIPOLI COMBINATI:

$$\left[\alpha_E := \frac{1}{2T_0} \frac{dU(\epsilon)}{d\epsilon} = \frac{U_0}{2T_0 \epsilon_0} (2 + \alpha_J) \right]$$

\Rightarrow lo smorzamento delle oscillazioni richiede $\alpha_J > -2$.

DAMPING delle osc. di BETATRONE - VERTICALE:

Assumono che l'andamento di radiazione emessa lungo la direzione di moto longitudinale (zettatore) t.c. $p_z \rightarrow p_z + \delta p_z$, quindi:

$$y' = \frac{p_r}{p_z} \Rightarrow \frac{dy'}{y'} = \frac{dp_z}{p_z} = -\frac{\delta \epsilon}{\epsilon_0} \quad (\text{il segno } -\text{ sta ad indicare un effetto di smorzamento delle espansioni di bet.})$$

Considerano le coord. norm. di FLÜGEL:

$$\begin{cases} w_y(\varphi) = \frac{y_B}{\sqrt{\beta_y}} \cos \varphi, \\ w_y'(\varphi) = -\frac{y_B}{\sqrt{\beta_y}} \sin \varphi, \end{cases} \quad \text{t.c. } w_y^2 + w_y'^2 = \frac{y_B^2}{\beta_y} = \epsilon_y \equiv A_y^2 \text{ (cost.)}$$

Vogliono la variazione di A_y in rapporto all'andamento zettatore di radiazione (in zone non dispersive) t.c. $\Delta y' \neq 0$, $\Delta y = 0$ (la partecipazione subisce una variazione zettatore di divergenza angolare, non di posizione):

$$A_y dA_y = w_y dw_y + w_y' dw_y' = w_y'^2 \frac{dw_y'}{w_y} = -w_y'^2 \frac{\delta \epsilon}{\epsilon_0};$$

$$A_y \langle dA_y \rangle_{\varphi} = - \overline{w_y'^2} \frac{\delta \epsilon}{\epsilon_0} = - \frac{1}{2} A_y^2 \frac{\delta \epsilon}{\epsilon_0};$$

MEDIA SU TUTTE
LE FASE DI
BETATRONE

$$\frac{1}{T_0} \int_0^{T_0} \frac{d\epsilon(t)}{dt}$$

$$-\frac{d}{dt} \frac{\langle dA_y \rangle_p}{A_y} = \frac{d}{dt} \frac{\delta \epsilon(t)}{2\epsilon_0} \approx \frac{1}{2\epsilon_0} \left(\frac{\Delta \epsilon(t)}{\Delta t} \right)_{\text{gradi}} = \boxed{\frac{U_0}{2T_0 \epsilon_0}} = \alpha_y.$$

L'AGITAZIONE MEDIA su 1 giro
dell'apertura relativa, mediata su tutto le fasi di β_y .

• DAMPING delle DEC. di ROTAZIONE - ORIZZONTALE :

e' differente del piano verticale non disposto, l'escursione di flesso (Δx) nel piano orizzontale in posizioe di disegno (Δx) ha origine ad una variazione istantanea della posizione, in aggiunta alla variazione di disegno angolare: $\Delta x = 0 \Rightarrow \Delta x_B + \Delta x_E = 0 \Rightarrow \Delta x_B(E) = -\Delta x_E = -\frac{\Delta x}{E_0}$

In coordinate di Flagnot: $Ax^2 = w_x^2 + w_x'^2$.

$$A_x dA_x = w_x dw_x + w_x' dw_x' = -\left[w_x \frac{\Delta x}{E_0} \frac{dE}{B_x} + w_x'^2 \frac{dE}{E_0}\right].$$

Espliacione $dE(x_B)$ per una generica orbita di battuta:

$$\delta E(x_B) = -\frac{P}{c} dl = \dots \text{dove } dl \approx (1 + \frac{x^2}{s}) ds;$$

$$\dots \approx -\frac{P_0}{c} \left(1 + \frac{x_B^2}{R} - 2kR x_B\right) ds. \quad P \approx P_0 + \frac{dP}{dB_r} \frac{dB_r}{dx} x_B = P_0 (1 - 2kR x_B);$$

(dl 1° ordine in x_B)

$$\Rightarrow A_x dA_x \approx + \frac{1}{E_0} \left(\frac{\Delta x}{B_x} w_x + w_x'^2 \right) \frac{P_0}{c} \left(1 + \frac{x_B^2}{R} - 2kR x_B\right) ds = \\ = \frac{P_0}{c E_0} \left(\frac{x_B^2}{B_x} \Delta x + \frac{\Delta x}{R B_x} x_B^2 - 2kR \frac{\Delta x}{B_x} x_B^2 + w_x'^2 + w_x^2 \left(\frac{x_B^2}{R} - 2kR x_B\right) \right) ds.$$

$$A_x \langle dA_x \rangle_P = \frac{P_0}{c E_0} \left[\frac{\Delta x}{B_x} \left(\frac{1}{R} - 2kR\right) \langle x_B^2 \rangle_P + \langle w_x'^2 \rangle_P \right] ds = \\ \downarrow \langle x_B \rangle_P = 0 \quad \frac{1}{2} A_x^2 B_x \quad \frac{1}{2} A_x^2 \\ = -\frac{U_0}{2 c T_0 E_0} A_x^2 \left[1 + \Delta x \left(\frac{1}{R} - 2kR\right) \right] ds;$$

$$\left| \frac{d}{dt} \frac{\langle dA_x \rangle_P}{A_x} \right| \underset{\text{torn}}{\approx} \frac{U_0}{2 c T_0 E_0} \frac{1}{c} \left[f ds - g ds \Delta x \left(\frac{1}{R} - 2kR\right) \right] = \frac{U_0}{2 T_0 S} (1 - \alpha) \underset{\text{figura}}{\equiv} \alpha_x$$

\Rightarrow lo smorzimento delle oscillazioni orizzontali richiede $\alpha_x < 1$.

T.E.O. di RABINSON :

$$\alpha_i := J_i \frac{U_0}{2 T_0 E_0}, \quad i=1,2,3 \quad \text{coff. di DAMPING. Allora:}$$

$$\boxed{\sum_i^3 J_i = 4}, \quad J_i = \text{numero di "REPARTIZIONI".}$$

N.B.: un smorzimento simbolico in tutti i piani richiede

$$\boxed{-2 < \alpha < 1}.$$

$$\begin{cases} w_x := \frac{x_B}{B_x} = \sqrt{\varepsilon_x} \cos \varphi \\ w_x'(\varphi) = \frac{dw_x}{d\varphi} = -\sqrt{\varepsilon_x} \sin \varphi \end{cases}$$

$$w_x^2 + w_x'^2 = \varepsilon_x \approx A_x^2$$

ECITAZIONE QUANTISTICA

delle oscillazioni.



Sviluppando la variazione delle ampiezze di oscillazione fino al 2^o ordine nelle coord. delle particelle, troviamo cento ore

120 ANNI
1897-2017

della struttura ($\sim \delta w$) da delle eccitazioni ($\sim (\delta w)^2$).

Ad es., per il moto longitudinale:

In assenza di anedezione di accelerazione, il moto di sincronismo è assunto da:

$$\begin{cases} |E(t)| = A_E \cos(\Omega t + \phi_0) \\ |\epsilon(t)| = -A_E \left(\frac{\eta_c}{\Omega \epsilon_0} \right) \sin(\Omega t + \phi_0) \end{cases} \Rightarrow A_E^2 = \epsilon^2 + \tau^2 \left(\frac{\Omega \epsilon_0}{\eta_c} \right)^2 = \omega_E^2 + \omega_E'^2;$$

$$\delta(A_E^2) \approx 2\omega_E' \delta \eta_c + 2\omega_E \delta \omega_E + \frac{1}{2}(2\delta \omega_E) \delta \omega_E \dots \text{dove } \begin{cases} \omega_E = \epsilon, \\ \delta \omega_E = \omega - \epsilon \end{cases}$$

non c'è variazione istantanea della fase

$$\dots \approx -2\epsilon \omega + \omega^2;$$

energia del fotone emesso

$$\begin{aligned} \frac{d}{dt} \langle f(A_E^2) \rangle_{\text{turn}} &\approx -2 \frac{d}{dt} \langle \epsilon \omega \rangle_{\text{p}} + \frac{d}{dt} \langle \omega^2 \rangle_{\text{p}} = -2 \frac{d}{dt} \langle \epsilon \cdot \frac{d\omega}{d\epsilon} \rangle_{\text{p}} + \frac{d}{dt} \int u^2 n(u) du = \\ &\approx -\frac{2}{T_0} \frac{dU(\epsilon)}{d\epsilon} \langle \frac{\omega^2}{\epsilon} \rangle_{\text{p}} + \frac{dN_p}{dt} \langle \omega^2 \rangle_{\text{p}} = \end{aligned}$$

ω dipende da ϵ

distrib. ab energia dei fotoni emessi

$$= -\frac{2}{\epsilon_E} A_E^2 + \frac{dN_p}{dt} \langle \omega^2 \rangle_{\text{p}}.$$

ϵ deve per def. $\int u^2 n(u) du = N_p$

L'equilibrio vedeato su un periodo (Giro) è intorno all'entità di riferimento:

imposto: $\langle \frac{d}{dt} f(A_E^2) \rangle_R = 0 \Rightarrow \langle A_E' \rangle_R = \frac{T_0}{2} \langle \frac{dN_p}{dt} \langle \omega^2 \rangle_{\text{p}} \rangle_R$.

$$\begin{aligned} \textcircled{*} \quad \frac{d}{dt} \langle \omega^2 \rangle_{\text{p}} &= \frac{d}{dt} \int u^2 n(u) du = \frac{d}{dt} \frac{\int u^2 n(u) du}{\int n(u) du} \int n(u) du = \frac{dN_p}{dt} \cdot \langle \omega^2 \rangle_{\text{p}}. \\ &\downarrow \qquad \qquad \qquad \downarrow \qquad \qquad \qquad \downarrow \\ &\qquad \qquad \qquad \langle \omega^2 \rangle_{\text{p}} \qquad \qquad \qquad N_p \end{aligned}$$

Sappiamo che lo scarto quadratico medio* (RMS) delle energie delle particelle accelerate (elettroni) all'equilibrio pressiono è:

$$\frac{1}{E_0^2} \frac{\langle A_{E_R}^2 \rangle_R}{2} = \langle \gamma_{\text{eq}}^2 \rangle = \frac{1}{E_0^2} \frac{T_E}{4} \left\langle \frac{dN_T}{dt} \langle u^2 \rangle_R \right\rangle .$$

Sostituendo: $T_E = \frac{2E_0 T_0}{J_E U_0} \approx \frac{2E_0}{J_E \langle P \rangle_R}$,

$$\left\langle \frac{dN_T}{dt} \langle u^2 \rangle_R \right\rangle \approx \frac{55}{24\sqrt{3}} \langle P u_c \rangle_R ,$$

$$u_c = \hbar \omega_c = \frac{3}{2} \pi \frac{c \beta^3}{R} ,$$

$$P = \frac{C}{6\pi E_0} \frac{q^2}{R^2} \beta^4 \gamma^4 \quad (\beta \rightarrow 1)$$

e ottengono infine:

$$\left\langle \gamma_{\text{eq}}^2 \right\rangle = \frac{55}{32\sqrt{3}} \frac{\pi}{m_e c} \frac{\beta^2}{J_E} \frac{\langle 1/R^3 \rangle_R}{\langle 1/R^2 \rangle_R} \approx$$

$$\approx \frac{C_g}{J_E R} \frac{\beta^2}{\text{isotrop.}}$$

$$C_g = 3.84 \cdot 10^{-13} \text{ m}$$

La durata del trunch di elettroni all'equilibrio è:

$$\left\langle \frac{1}{T} \right\rangle^2 = \left(\frac{q_c}{\Omega_s E_0} \right)^2 \langle \gamma^2 \rangle^2 E_0^2 \approx \left(\frac{q_c}{\Omega_s} \right)^2 C_g \frac{\beta^2}{J_E R} = \frac{C_g}{m_e^2 c^4} \frac{q_c T_0}{J_E R} \frac{E_0^3}{e V_0}$$

La durata del pacchetto di elettroni può essere misurata con il GRADIENTE in FASE della tensione accelerante $\propto E_{30}$, oppure convedendo q_c .

L'elittica generalizzata nel piano orizzontale è insieme dell'emissione dei fotoni in zona DISPERSIVA, di 2° ordine nell'energia dei fotoni.



120 ANNI
1897-2017

Potenza delle emesse

generalmente di singole particelle (in presenza di $\Delta_x, \Delta'_x \neq 0$ tale appross.
non è, in genere, un invarianto del moto):

$$A_x^2 = \delta_x x^2 + 2\delta_x x x' + \beta_x x'^2 = \dots \quad \left\{ \begin{array}{l} x = x_\beta + \Delta_x \frac{\epsilon}{E_0}, \\ x' = x'_\beta + \Delta'_x \frac{\epsilon}{E_0} \end{array} \right.$$

$$\dots = A_{x,\beta}^2 + (\delta_x \Delta_x + 2\delta_x \Delta_x \Delta'_x + \beta_x \Delta_x'^2) \left(\frac{\epsilon}{E_0} \right)^2 + \quad \begin{matrix} \uparrow \\ \text{inv. duc.-s.} \end{matrix} \quad \begin{matrix} \underbrace{}_{= H_x(s)} \\ \end{matrix}$$

$$+ 2 \left[\delta_x x_\beta \Delta_x \frac{\epsilon}{E_0} + 2\delta_x (x_\beta \Delta_x \frac{\epsilon}{E_0}) (x'_\beta \Delta_x' \frac{\epsilon}{E_0}) + \beta_x (x'_\beta \Delta_x' \frac{\epsilon}{E_0}) \right];$$

$$\delta A_x^2 = \delta A_{x,\beta}^2 + \frac{H_s(\epsilon^2)}{E_0^2} + f(x_\beta u, x'_\beta u);$$

$$\langle \delta A_x^2 \rangle_q = \langle \delta A_{x,\beta}^2 \rangle_q + \frac{H}{E_0^2} \langle u^2 \rangle_q + f(\langle x_\beta \rangle_q, \langle x'_\beta \rangle_q).$$

Ricordando che: $\langle \delta A_{x,\beta}^2 \rangle = - \frac{2U_0}{CT_0 E_0} A_{x,\beta}^2 \left[1 - \Delta_x \left(\frac{1}{R} - 2kR \right) \right] dt$, troviamo

$$\frac{d}{dt} \langle \delta A_x^2 \rangle_q \Big|_{\text{turn}} \simeq - \frac{2U_0}{T_0 E_0} A_{x,\beta}^2 \left(1 - \Omega \right) + \frac{H}{E_0^2} \frac{dN_p}{dt} \langle u^2 \rangle_q.$$

L'equilibrio nel tempo o in media sull'orbita di riferimento impone:

$$\langle \frac{d}{dt} \langle \delta A_x^2 \rangle_q \rangle_R = 0 \Rightarrow \left\langle \langle A_{x,\beta}^2 \rangle_{R,q} = \frac{T_x}{2} \frac{H}{E_0^2} \frac{dN_p}{dt} \langle u^2 \rangle_R \right\rangle.$$

L'emissione geometrica è per def. $E_{x,qg} = \frac{\langle A_{x,\beta}^2 \rangle_{R,qg}}{R}$, quindi:

$$E_{x,qg} = \frac{T_x}{4E_0^2} \left\langle H \frac{dN_p}{dt} \langle u^2 \rangle_R \right\rangle = \dots = G \frac{\Omega^2}{J_x} \frac{\langle H/R^3 \rangle_R}{\langle 1/R^2 \rangle_R} \underset{\substack{\text{sostituzione} \\ \text{come per } f_{1,qg}}}{\simeq} \left(G \frac{\Omega^2}{J_x} \frac{\langle H \rangle_R}{R} \right)$$

N.B.: le dimensioni del forno all'equilibrio sono: $\left\{ \begin{array}{l} \delta_{x,qg} = \sqrt{E_x \beta_x + (\Delta_x \Omega)^2} |_{qg} \\ \delta'_{x,qg} = \sqrt{E_x \delta_x + (\Delta'_x \Omega)^2} |_{qg} \end{array} \right.$

$$\text{i.d.}: E_{x,qg} \sim \frac{H}{R} \sim \frac{D_x^3}{R} \sim \frac{\Omega^2}{1/R} \sim \Omega_b^3 \sim \frac{1}{N_b^3}.$$

Il fatto che non esista DISPERSIONE VERTICALE sembra suggerire che per l'effetto di eccitazione sia nullo. In realtà, dobbiamo considerare le fotoni vengono emessi con piccoli ANGOLI VERTICALI rispetto alla direzione del moto delle particelle (trascurato fino!!). L'aumento di spettro di esaltazione sarà dunque:

$$\delta A_y^2 = \beta_y \theta^2 \frac{u^2}{\epsilon_0^2} + \begin{cases} 4n\beta, 4n\frac{1}{\beta} \\ n_y \approx 4\beta \\ \delta A_y^2 \approx d n_y^2 \approx d y^2 \cdot \beta_y \end{cases}$$

dove vale $\langle u^2 \theta^2 \rangle \approx \langle u^2 \rangle \langle \theta^2 \rangle \approx \langle u^2 \rangle \frac{1}{2\beta^2}$. Quindi:

$$\langle \frac{d}{dt} \langle A_y^2 \rangle \rangle = - \langle A_y^2 \rangle \frac{U_0}{T_{c.c.}} + \frac{\beta_y}{\epsilon_0^2} \langle \frac{dN_p}{dt} \langle u^2 \rangle \frac{1}{2\beta^2} \rangle$$

e all'equilibrio:

$$\left[\epsilon_y = \frac{\langle A_y^2 \rangle}{2} = \frac{C_g}{2\beta_y} \frac{\langle \beta_y / R^3 \rangle}{\langle 1/R^2 \rangle} \underset{\text{(isotropia)}}{\approx} \frac{C_g \langle \beta_y \rangle}{2R} \right]$$

Tale valore è tipicamente molto piccolo rispetto a E_x . Nella realtà, ϵ_y è dovuta dall'ACCOPIAMENTO GEOMETRICO tra i due di moto x, y , tale per cui: $\epsilon_y \approx k E_x \approx 0.01 E_x$.

\hat{C} fattore
di accoppiamento

→ SINTESI: "INTEGRALI di RADIAZIONE di SINCRONIZZAZIONE" (vedi testo).

NOTA 1: La distribuzione 6-D delle particelle nell'acceleratore è cioè la risultante di un numero molto grande di EMISSIONI DI FOTONI che sono INDIPENDENTI l'una dall'altra e che, crescendo, contribuiscono con PICCOLE PERTURBAZIONI alla variazione dei momenti delle particelle. \Rightarrow TEO. del LIMITE CENTRALE:

le distribuzioni $p(E)$, $p(x)$, $p(y)$
ecc. sono GAUSSIANE. all'equilibrio

NOTA 2: tali distribuzioni tendono ad occupare tutta lo spazio (fisico o diverso) accessibile, fino alle limiti imposti dal moto stabile (cavità di moto o aperture diverse o scatole) \Rightarrow le code delle gaussiane vengono "taglate", con conseguente PERDITA GRADUALE di CARICA. La quale è auto-vogante all'equilibrio

\Rightarrow VITA MEDIA QUANTISTICA del fascio ACCUMULATO.

INTEGRALI di RADIAZIONE DI SINCRONTRONE

Le espressioni precedentemente trovate possono essere espresse in funzione di integrali che dipendono esclusivamente dell'effice del sincrotrone. Assumiamo il contributo principale alla radiazione di sincrotrone provenga da DIPOLI (COMBINATI) e QUADRUPOLI. In tal caso otteniamo:

$$I_2 = \oint \frac{1}{\rho^2} ds \quad I_3 = \oint \frac{1}{|\rho^3|} ds$$

$$I_4 = \oint \frac{D}{\rho} \left(\frac{1}{\rho^2} - 2k \right) ds \quad I_5 = \oint \frac{H}{|\rho^3|} ds$$

tale che :

$$U_0 = \text{energy loss per turn} = \frac{e_c^2}{6\pi E_0} \gamma^4 I_2$$

Damping partition numbers ,

$$\begin{cases} J_x = 1 - \frac{I_4}{I_2} \\ J_y = 1 \\ J_\varepsilon = 2 + \frac{I_4}{I_2} \end{cases}$$

Damping times :

$$\begin{cases} \tau_x = \frac{3T_0}{R\gamma^3} \frac{1}{I_2 - I_4} \\ \tau_y = \frac{3T_0}{R\gamma^3} \frac{1}{I_2} \\ \tau_\varepsilon = \frac{3T_0}{R\gamma^3} \frac{1}{2I_2 + I_4} \end{cases}$$

Natural horizontal emittance : $\epsilon_n = C_g \gamma^2 \frac{I_5}{I_2 - I_4} = \frac{C_g \gamma^2}{J_x} \frac{I_5}{I_2}$

Relative energy spread : $\sigma_\delta^2 = C_g \gamma^2 \frac{I_3}{2I_2 + I_4} = \frac{C_g \gamma^2}{J_\varepsilon} \frac{I_3}{I_2}$

Bunch duration : $\sigma_T = \frac{\sigma_e}{\Omega_s E_0} \sigma_\varepsilon = \frac{\sigma_e}{\Omega_s} \sigma_\delta$